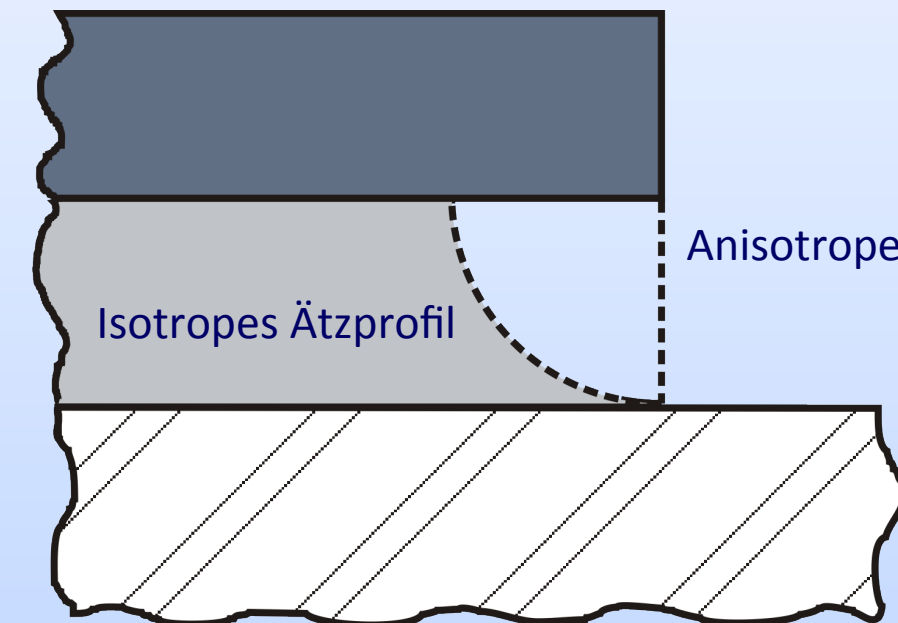


# Ätzen

# Das Ätzen

## Kategorisierung:

- physikalische Verfahren
- chemische Verfahren
- Kombination aus Chemie und Physik



Anisotropes Ätzprofil

Isotropes Ätzprofil

Selektivität

$$S = \frac{R^{\text{Material 1}}}{R^{\text{Material 2}}}$$

Anisotropiefaktor

$$A = 1 - \frac{R^{\text{Lateral}}}{R^{\text{Vertikal}}}$$

# Selektivität vs. Anisotropie

Anisotropie senkrecht zur Waferoberfläche

Selektivität

Nasschemisches Ätzen      Barrel Ätzen (BE)      Plasma Ätzen (PE)      Reaktives Ionenätzen(RIE)      Reaktives Ionenstrahlätzen (RIBE)      Sputterätzen (IE)      Ionenstrahlätzen (IBE)



chemische  
Verfahren

Kombination aus  
Chemie und Physik

physikalische  
Verfahren

# Nasschemisches Ätzen



## Ätzprozess:

1. Diffusion des Reagens an die Oberfläche
2. Chemische Reaktion an der Oberfläche
3. Diffusion der Reaktionsprodukte in die Umgebung

### Siliziumoxid

- DHF (5:1 – 250:1)
- BHF ( $\text{NH}_4\text{F}:\text{HF}$  5:1 – 500:1)

### Siliziumnitrid

- HF 49%
- $\text{H}_3\text{PO}_4$  80%

### Polysilizium

- HF/ $\text{HNO}_3$  (1:1 – 1:10)
- KOH/Benz. Alkohol

# Trockenätzen

## Anwendungen:

- Strukturierung von Dielektrika
- Strukturierung der Polysilizium
- Tiefenätzen von Silizium (DRIE)
- Strukturierung von Metallen

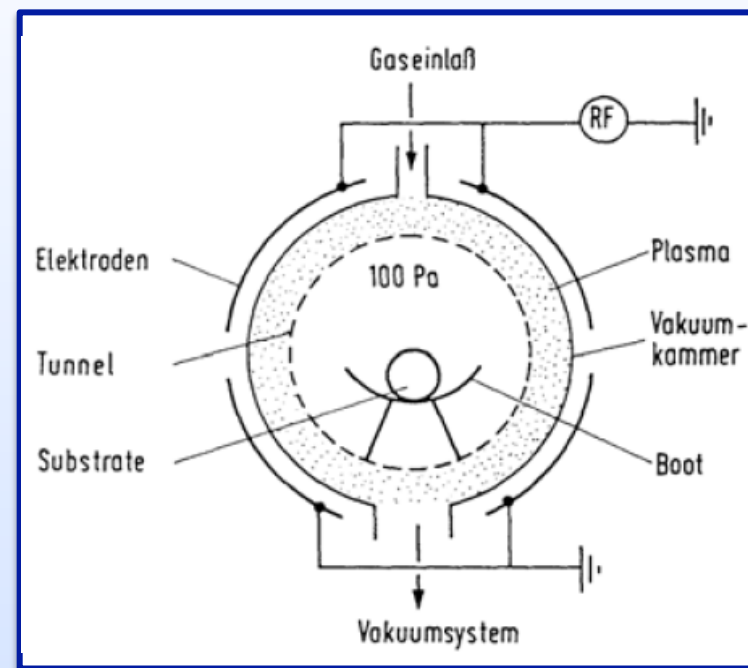
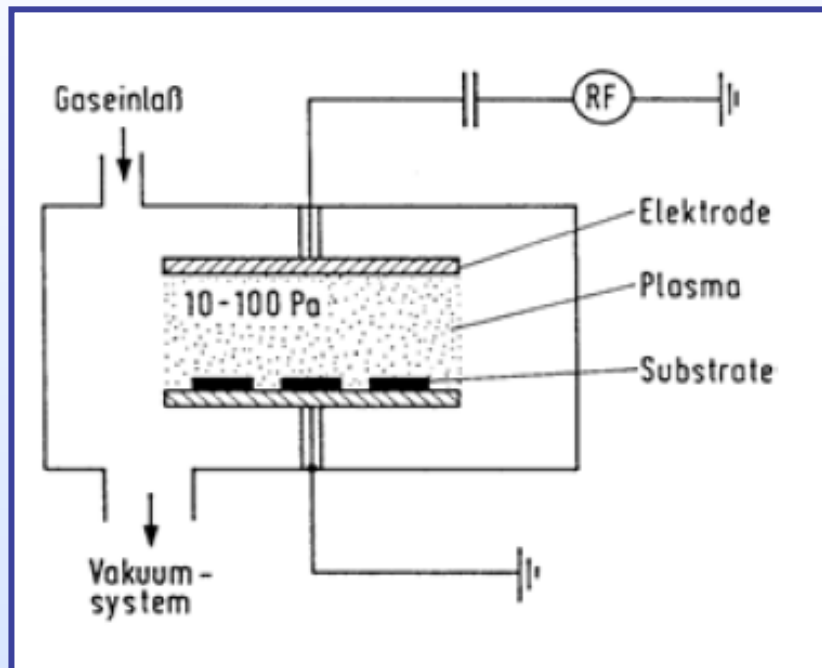
## Teilschritte:

- Erzeugung reaktiver Teilchen
- Transport der Teilchen zur Substrat
- Ätzung der Oberfläche
- Abtransport der Reaktionsprodukte

## Reaktionspartner:

- inerte Ionen ( $\text{Ar}^+$ )  $\Rightarrow$  mechanische Wirkung
- reaktive Ionen ( $\text{CF}_3^+$ )  $\Rightarrow$  chemische Wirkung
- reaktive Radikale ( $\text{F}^*$ ,  $\text{O}^*$ ,  $\text{CF}_3^*$ )

# Plasmaätzen

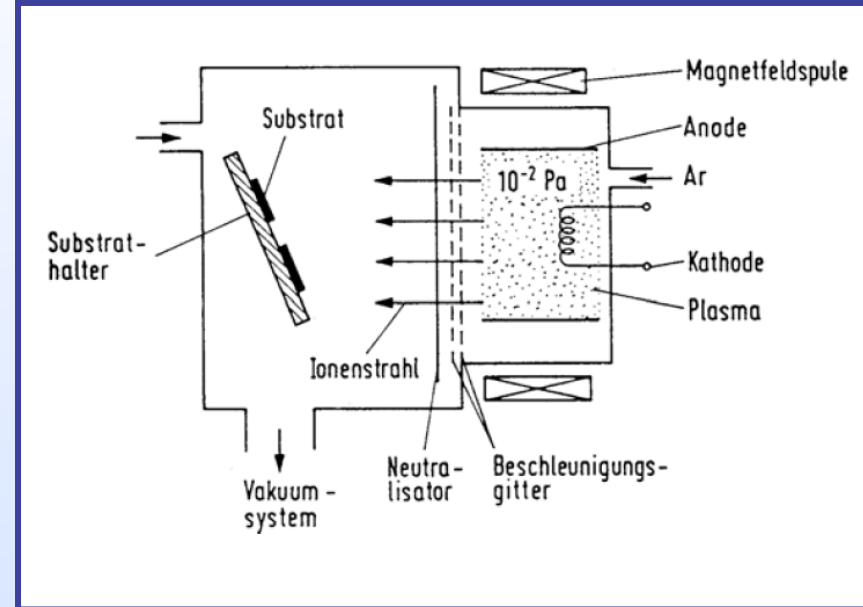
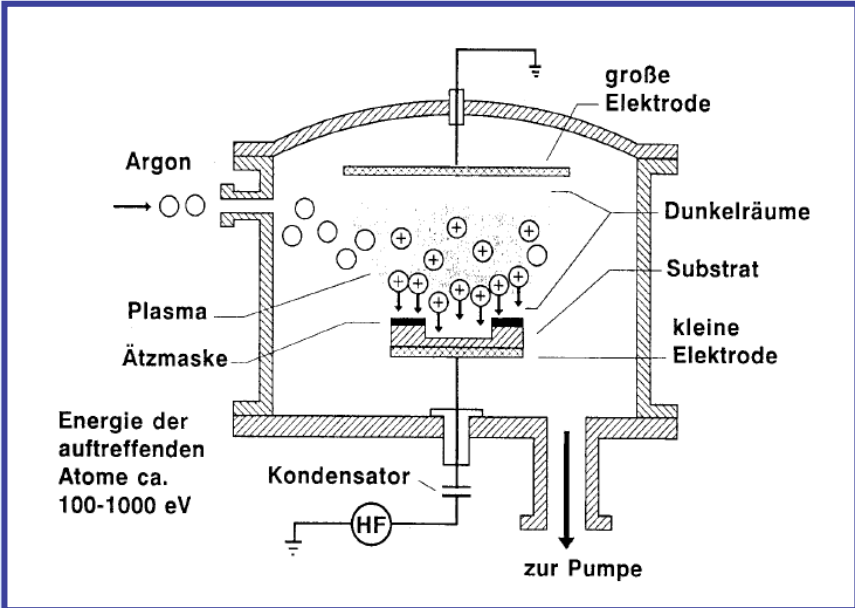


- Angriff durch chemischer Radikale
- schwache physikalischer Angriff durch Ionen

Folglich:

- geringe Anisotropie
- hohe Selektivität

# Sputterätzen (ion milling) und Ionenstrahlätzen (ion beam milling)



## Sputterätzen

- Plasma und Ätzkammer nicht getrennt
- hohe Anisotropie bei niedrigen Drucken
- geringer Selektivität

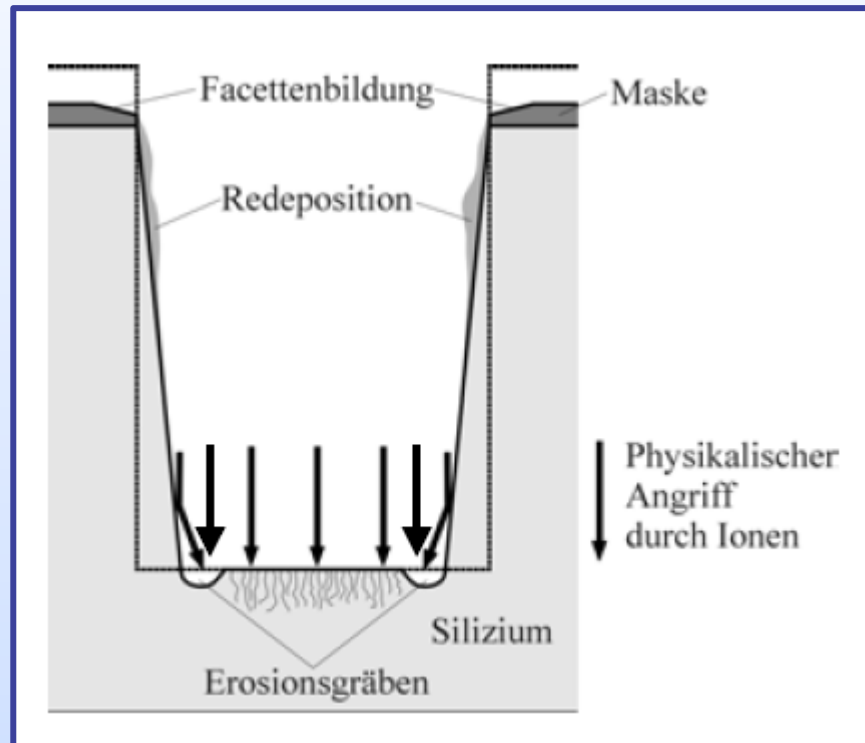
## Ionenstrahlätzen

- Plasma und Ätzkammer sind getrennt
- sehr hohe Anisotropie ist möglich
- geringer Selektivität

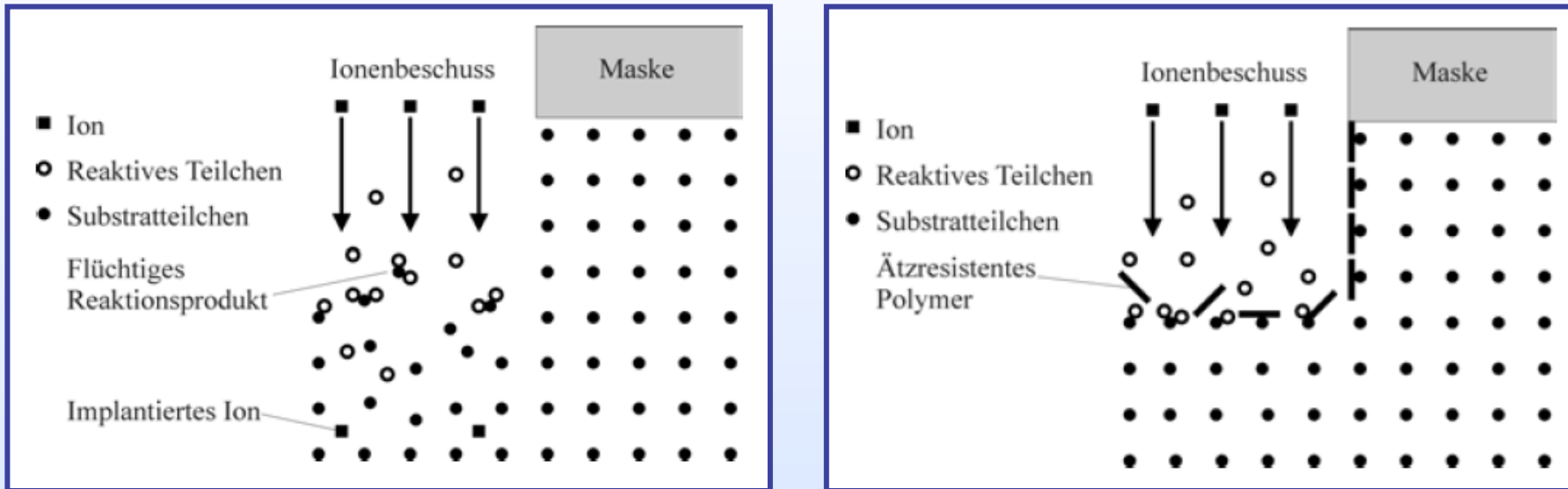
# Sputterätzen

## Probleme

- Redeposition
- Erosionsgraben (trenching)
  - Reflexion an der Seiten
  - Lokale Erhöhung der Ionendichte
  - höhere Ätzrate
  - Erosionsgraben
- Abspinnen der Maske
- Facettenbildung
- Implantation der Ionen

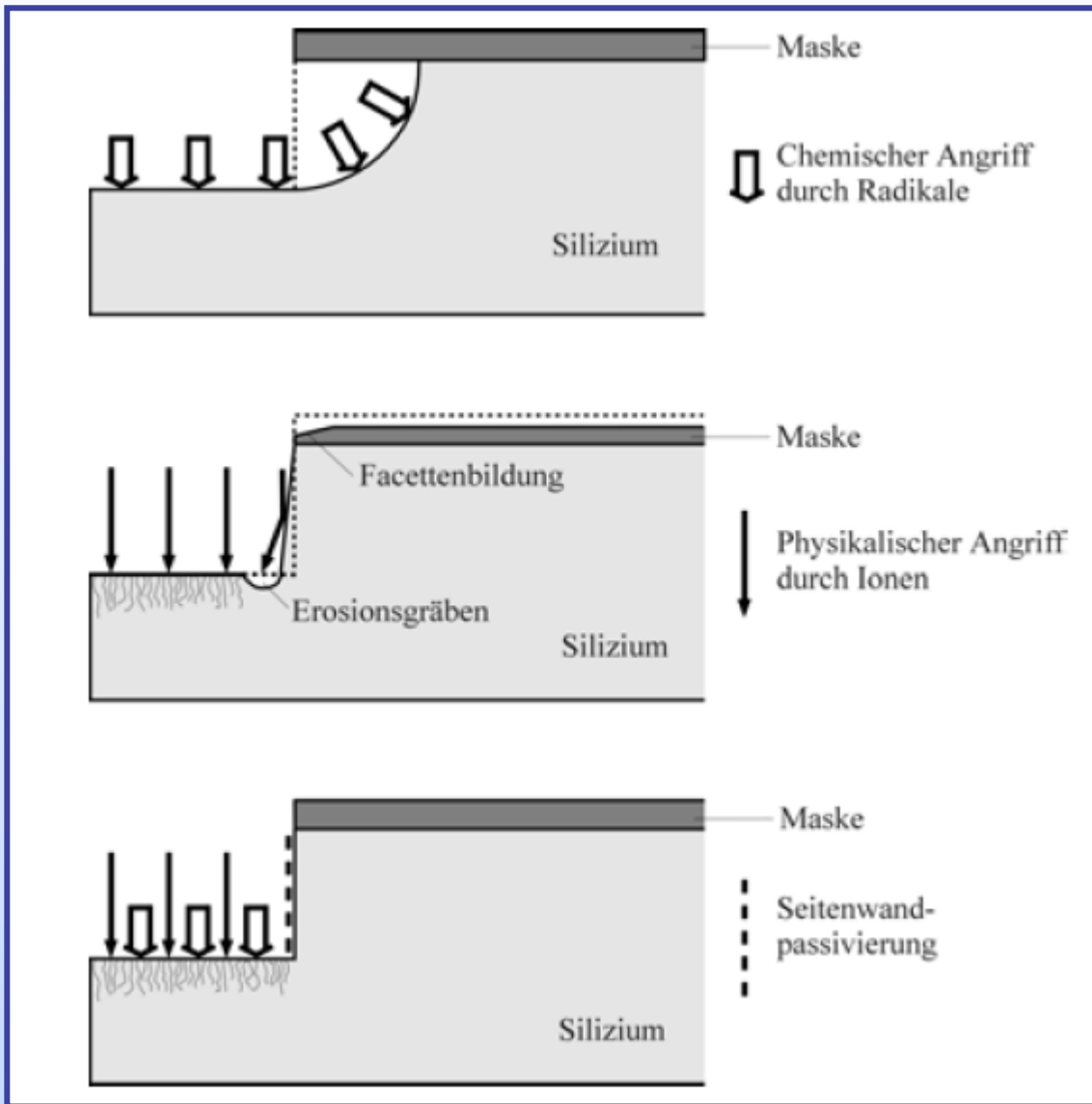


# Reaktives Ionenätzen (Reactive Ion Etching)



- Gemisch aus reaktiven und inerten Gasen  
⇒ Kombinierter chemischer und physikalischer Ätzangriff
- Vorteile:
  - hohe Selektivität
  - hohe Anisotropie
  - senkrechte Wände
  - hohe Ätzrate
  - Seitenwandpassivierung

# Vergleich der Ätzprofile

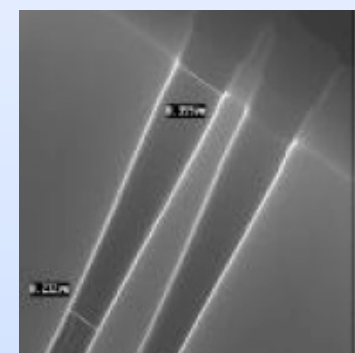
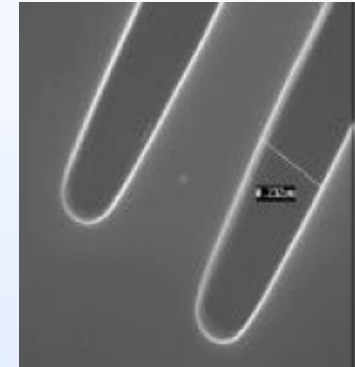
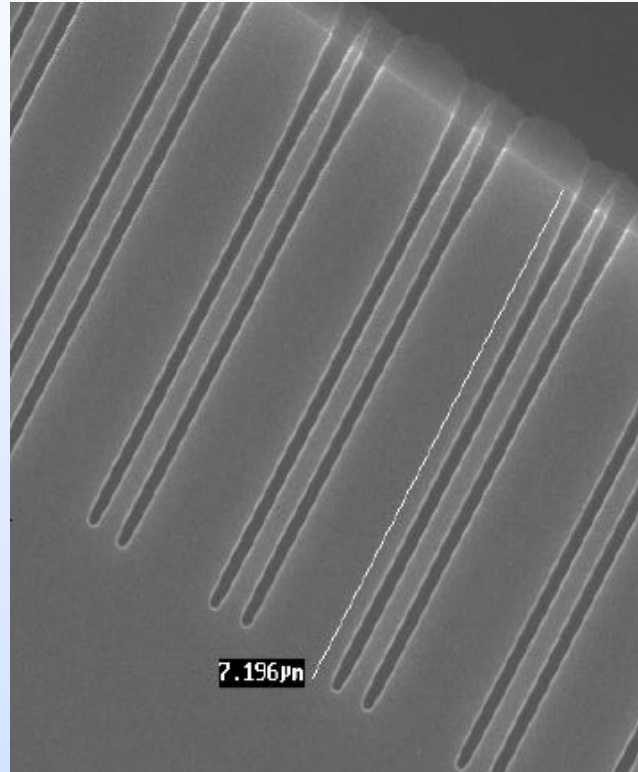
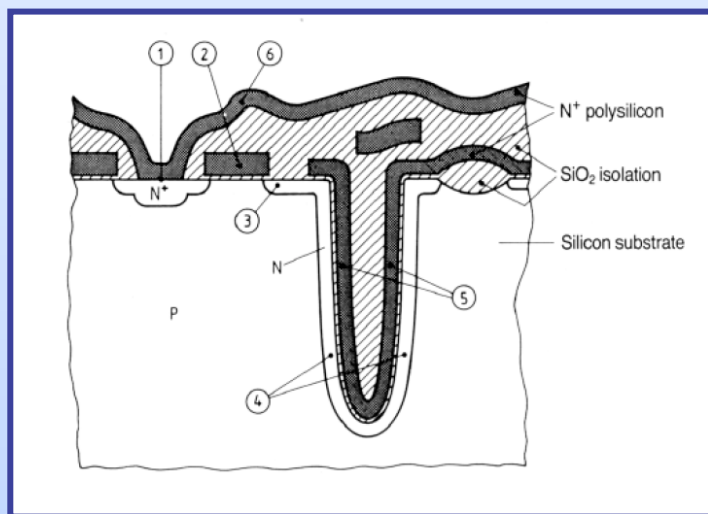
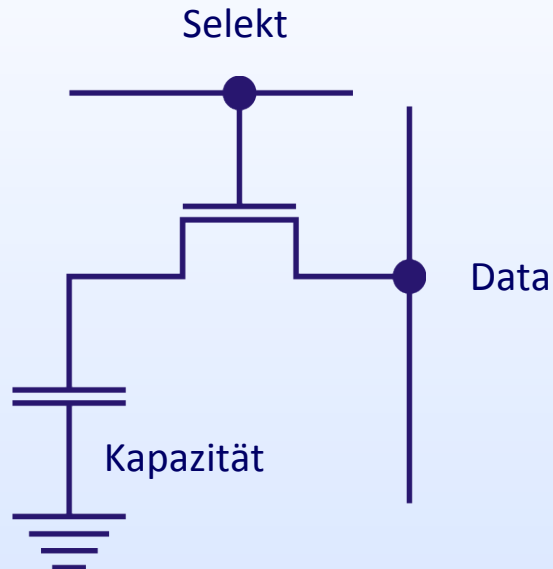


Plasmaätzen

Sputterätzen

Reaktives Ionenätzen

# Deep Trench Capacitor



## Herausforderungen:

- hohe Aspekt Ratio
- hohe Selektivität
- Uniformität

# Prozesskontrolle

## IEP (Interferometric Endpoint Control)

- Detektion von der Ätztiefe für Endpointkontrolle

## OES (Optical Emission Spectroscopy)

- Plasmamonitoring für Endpointkontrolle

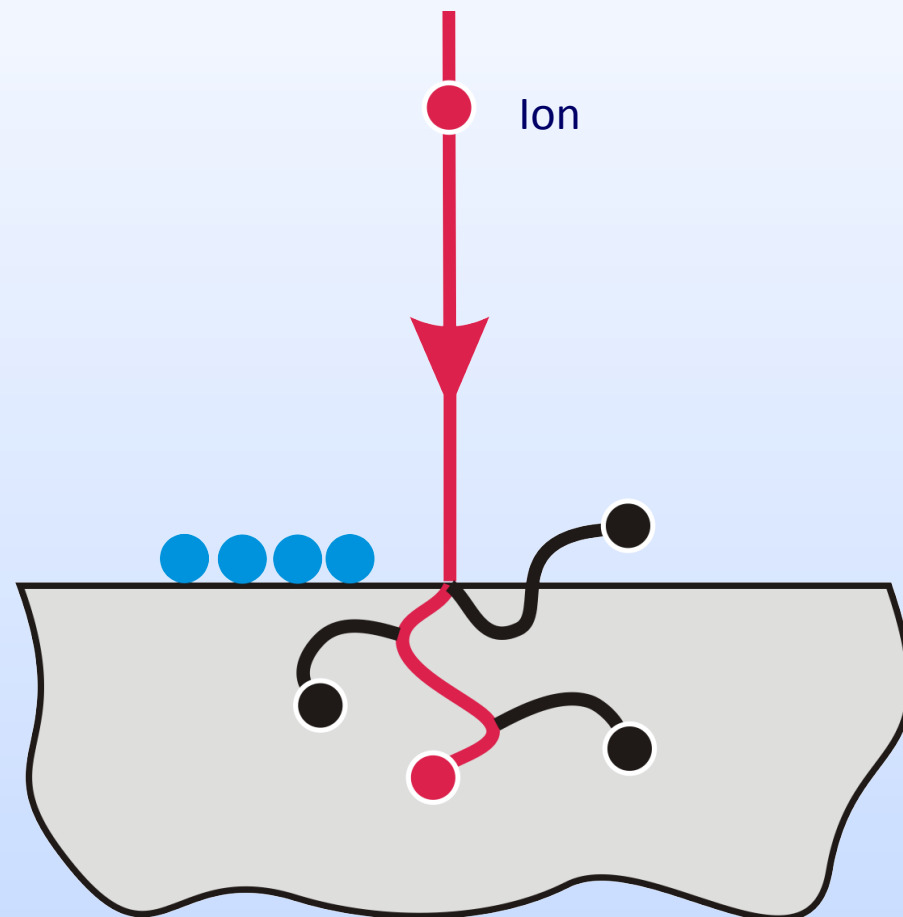
## HERCULES

- Monitoring von Plasma elektrischen Parameter

# **Focused Ion Beam (FIB)**

# Ion Solid Interaction

- Sputtering
- Damage
- Implantation
- Secondary electron/ion emission
- Surface chemical reactions
  - Deposition
  - Enhanced etching

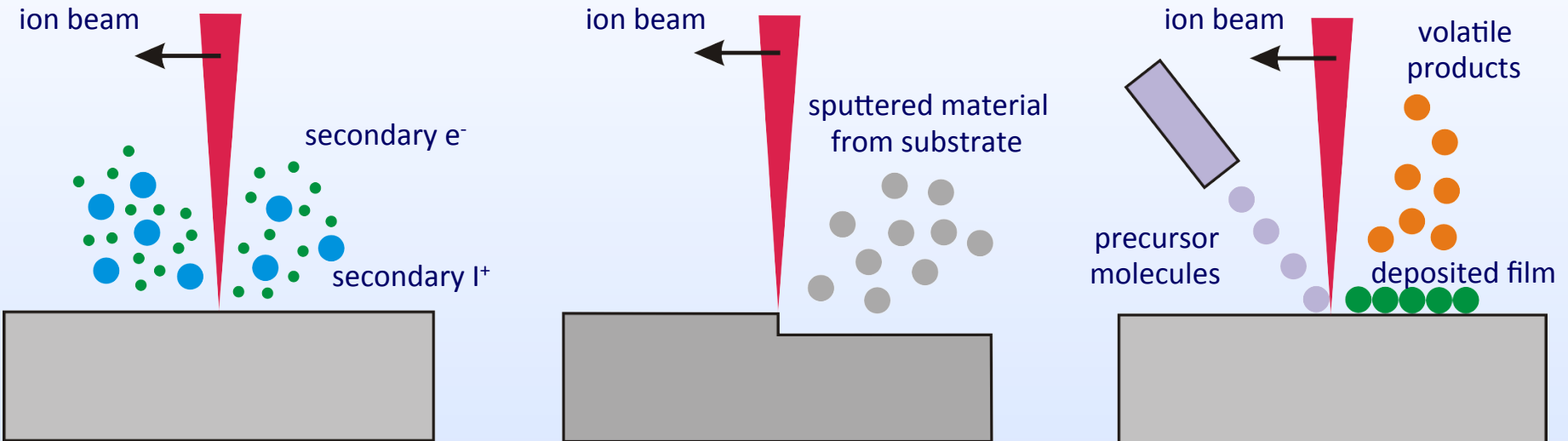


# Vergleich FIB/SEM

		<b>FIB</b>	<b>SEM</b>	<b>Ratio</b>
Particle	type	Ga+ ion	electron	
	elementary charge	+1	-1	
	particle size	0.2 nm	0.00001 nm	20.000
	mass	$1.2 \cdot 10^{-25}$ kg	$9.1 \cdot 10^{-31}$ kg	130.000
	velocity at 30 kV	$2.8 \cdot 10^5$ m/s	$1.0 \cdot 10^8$ m/s	0.0028
	velocity at 2 kV	$7.3 \cdot 10^4$ m/s	$2.6 \cdot 10^7$ m/s	0.0028
	momentum at 30 kV	$3.4 \cdot 10^{-20}$ kgm/s	$9.1 \cdot 10^{-23}$ kgm/s	370
	momentum at 2 kV	$8.8 \cdot 10^{-21}$ kgm/s	$2.4 \cdot 10^{-23}$ kgm/s	370
Beam	size	nm range	nm range	
	energy	up to 30 kV	up to 30 kV	
	current	pA to nA range	pA to uA range	
Penetration depth	In polymer at 30 kV	60 nm	12000 nm	
	In polymer at 2 kV	12 nm	100 nm	
	In iron at 30 kV	20 nm	1800 nm	
	In iron at 2 kV	4 nm	25 nm	
Average electrons	secondary electrons	100 - 200	50 - 75	
signal per 100				
particles at 20 kV	back scattered electron	0	30 - 50	
	substrate atom	500	0	
	secondary ion	30	0	
	x-ray	0	0.7	

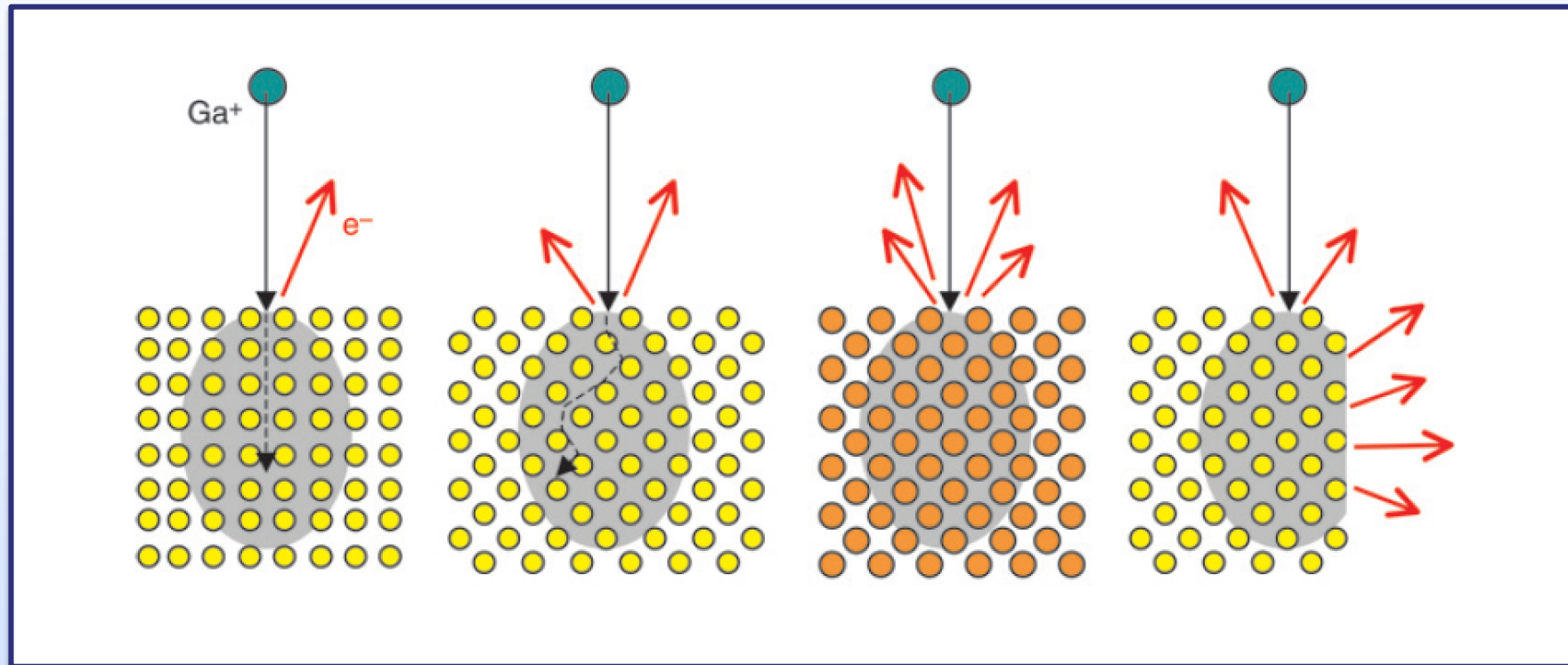
Quelle: FEI Company

# Basic Operation Modes



- Emission of secondary ions and electrons
  - **FIB Imaging**
- Sputtering of substrate atoms
  - **FIB milling**
- Chemical interactions
  - **FIB deposition**
  - **Enhanced (preferential) etching**

# FIB Imaging

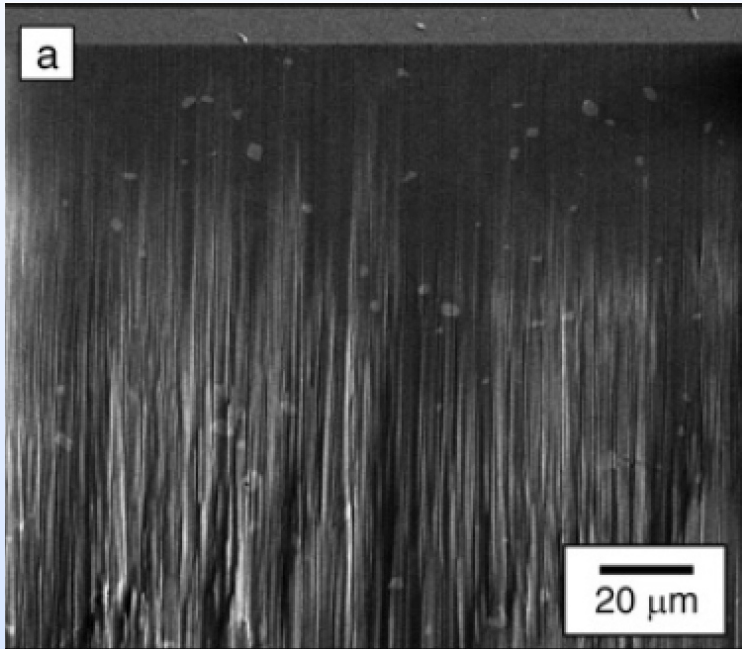


C.A.Volkert and A.M. Minor, MRS Bulletin, V32, May 2007, p. 389.

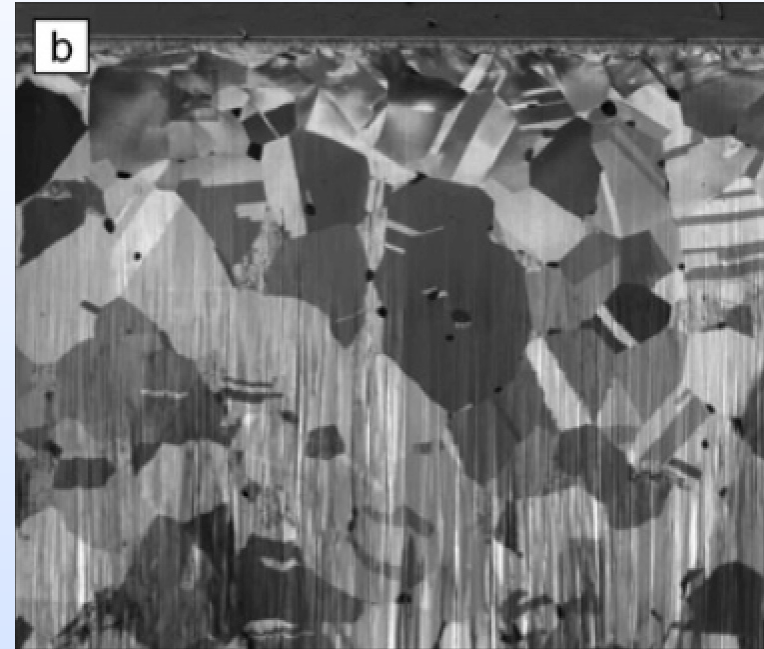
## Effect of:

- crystal orientation
- atomic mass
- surface geometry

# FIB Imaging

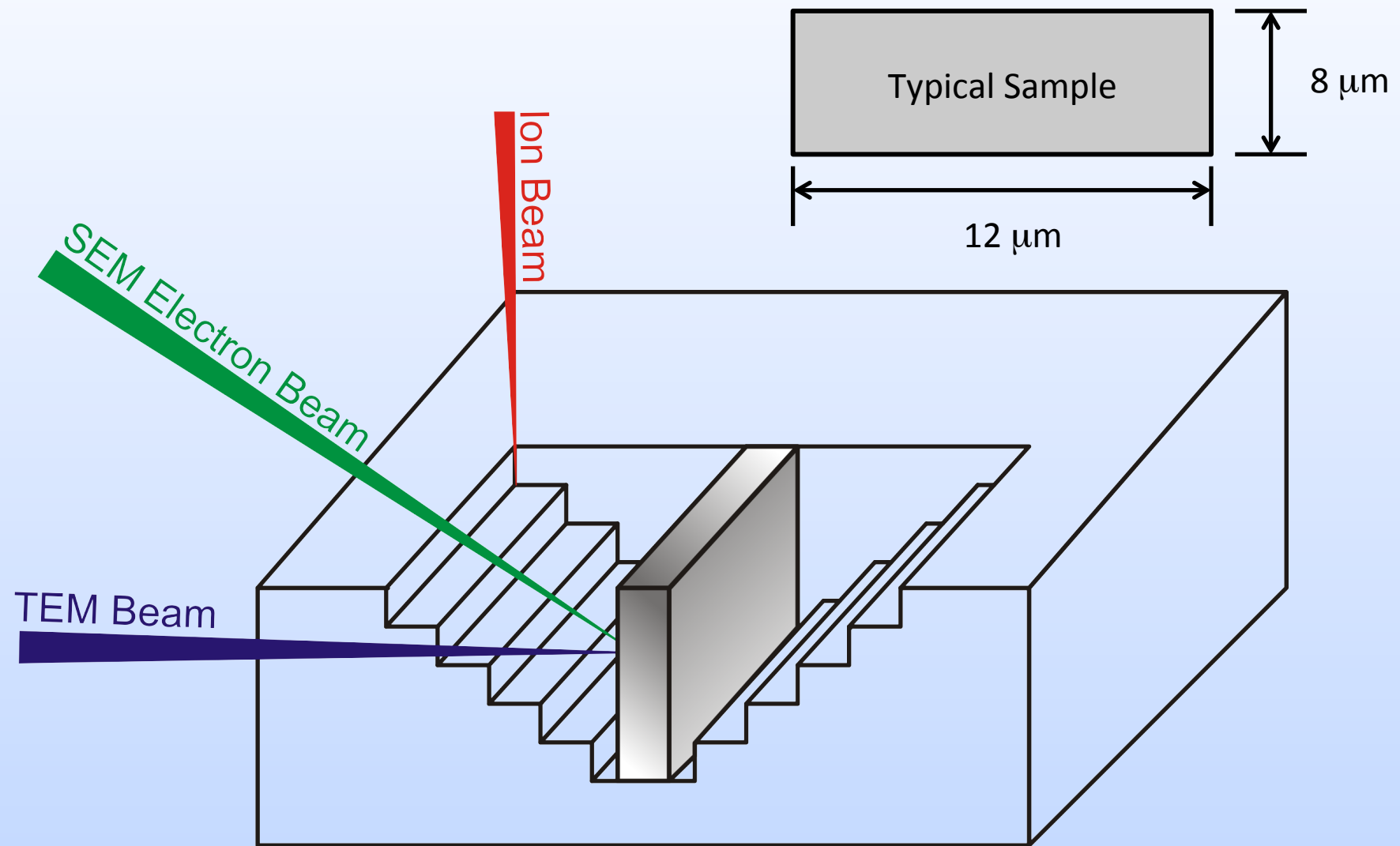


Brass: SE Image

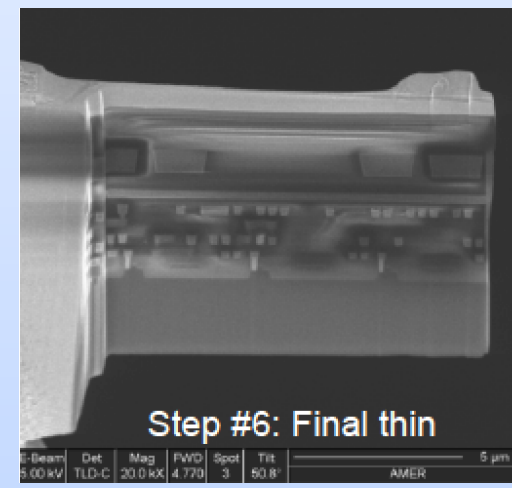
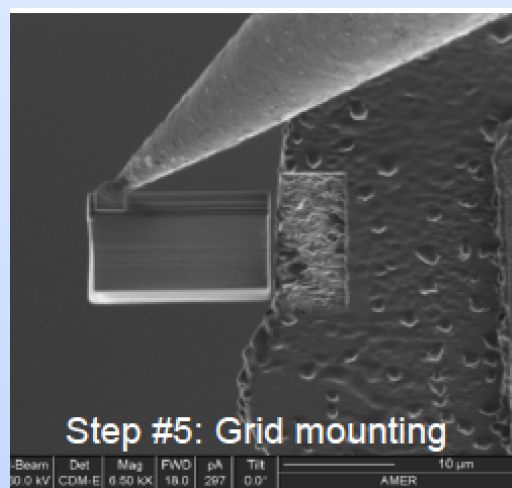
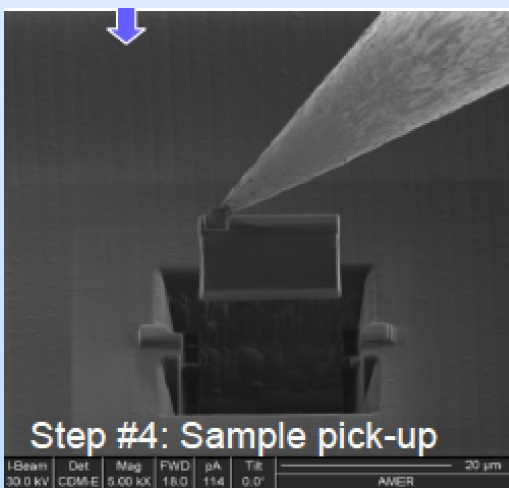
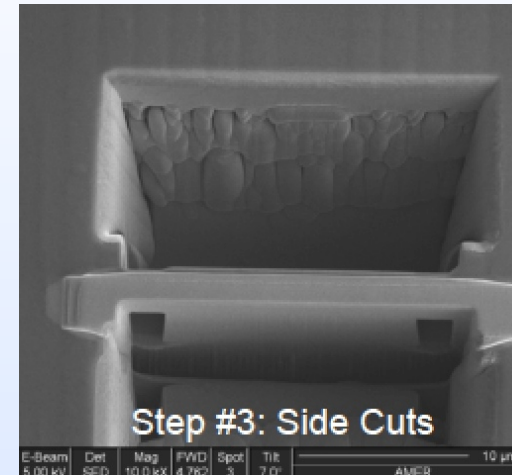
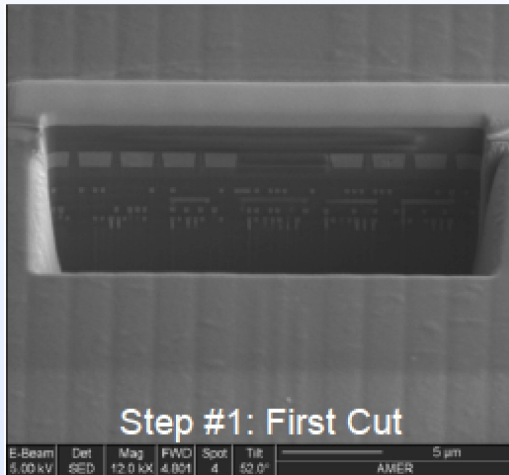


Brass: ISE Image

# S/TEM Sample Preparation: Lift-Out



# S/TEM Sample Preparation

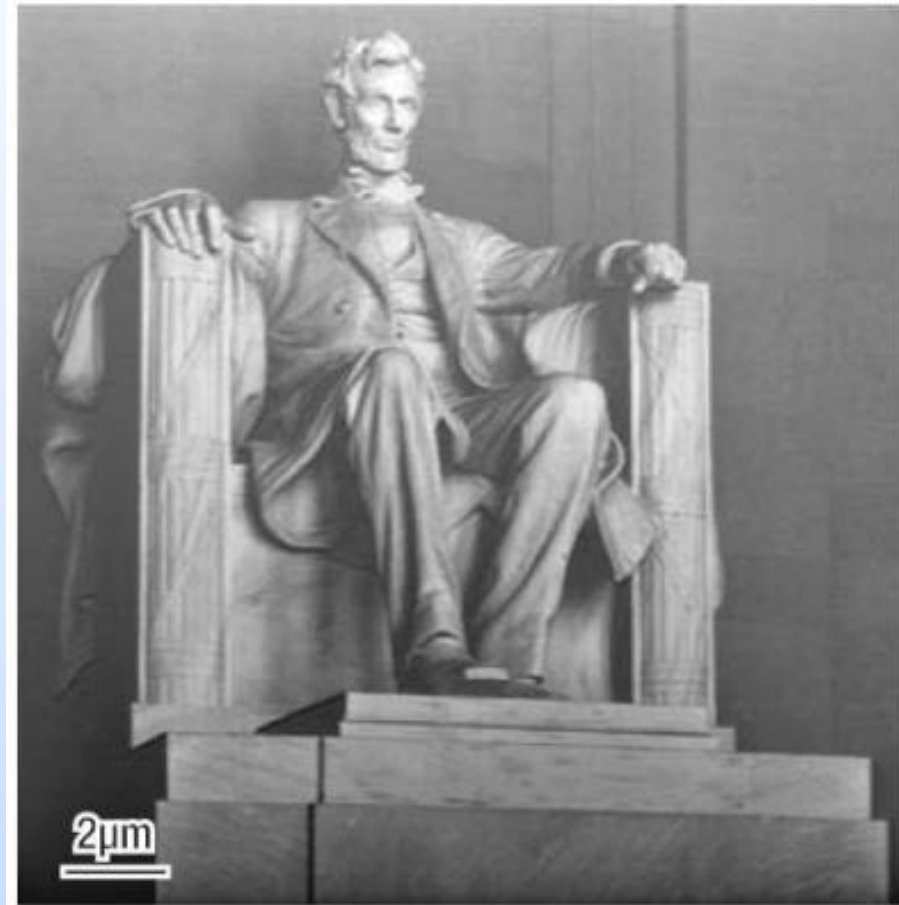


## FIB milling



Barack Obama patterned into silicon

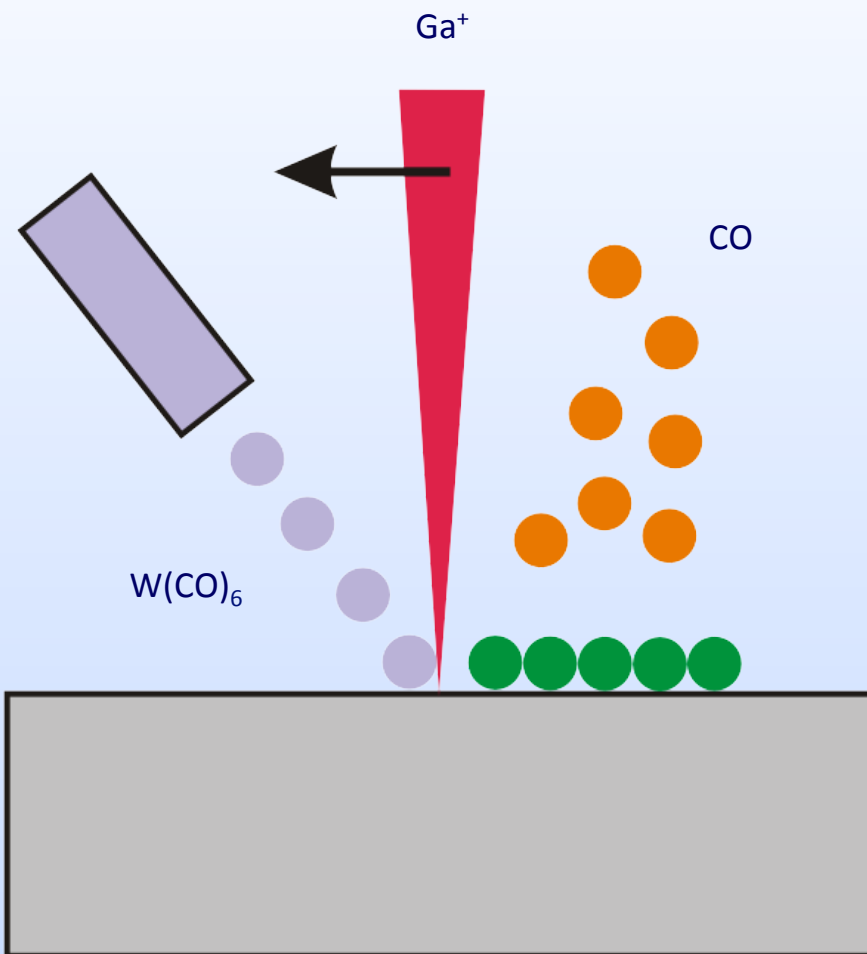
Quelle: ZEISS  
Herstellung von Nanostrukturen/HS2013



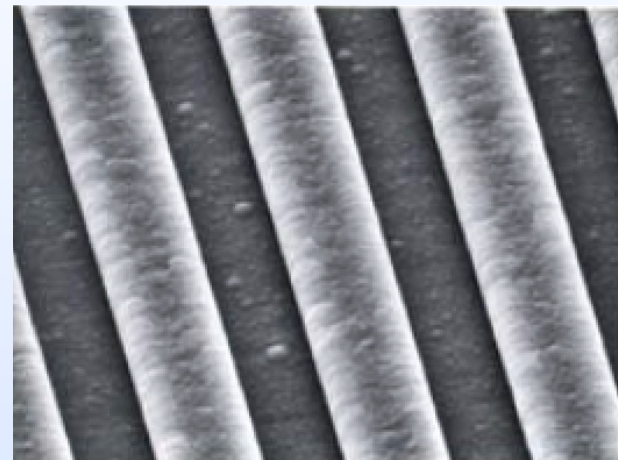
Lincoln Memorial patterned into silicon

PD Dr. Andriy Romanyuk

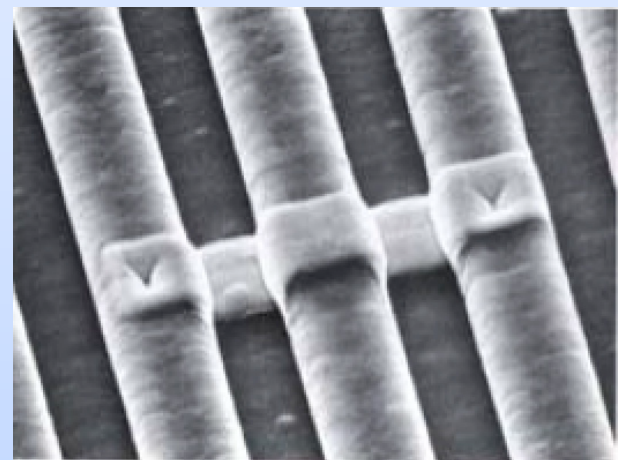
# FIB: Circuit Modification



before modification



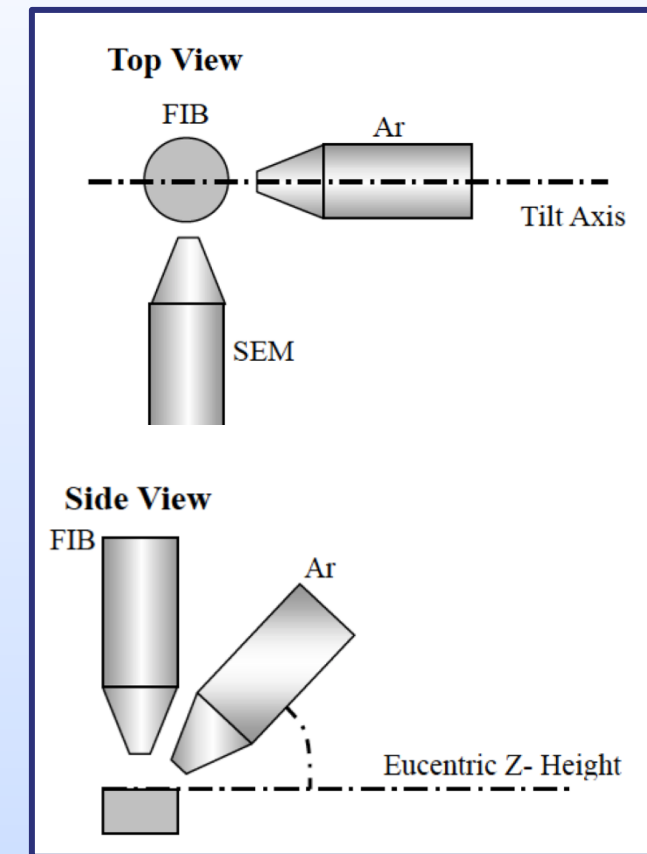
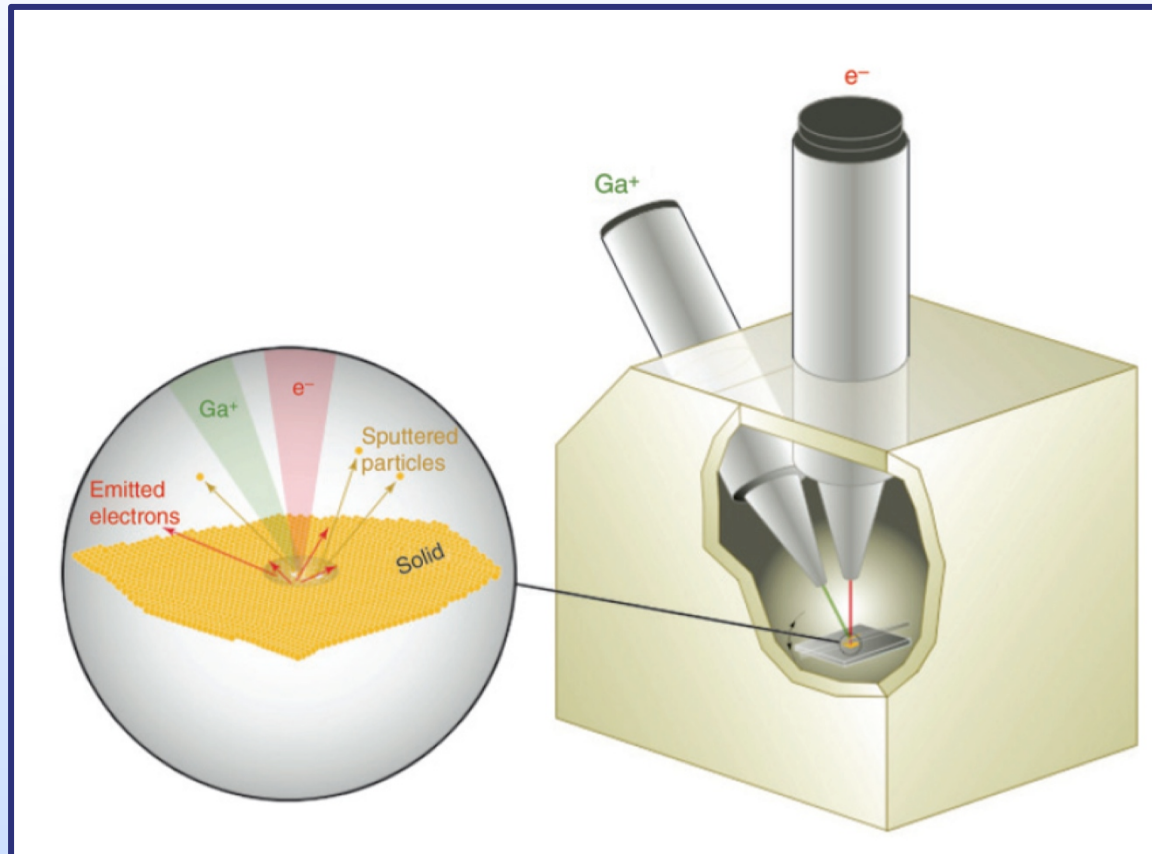
after modification



## FIB Limitations

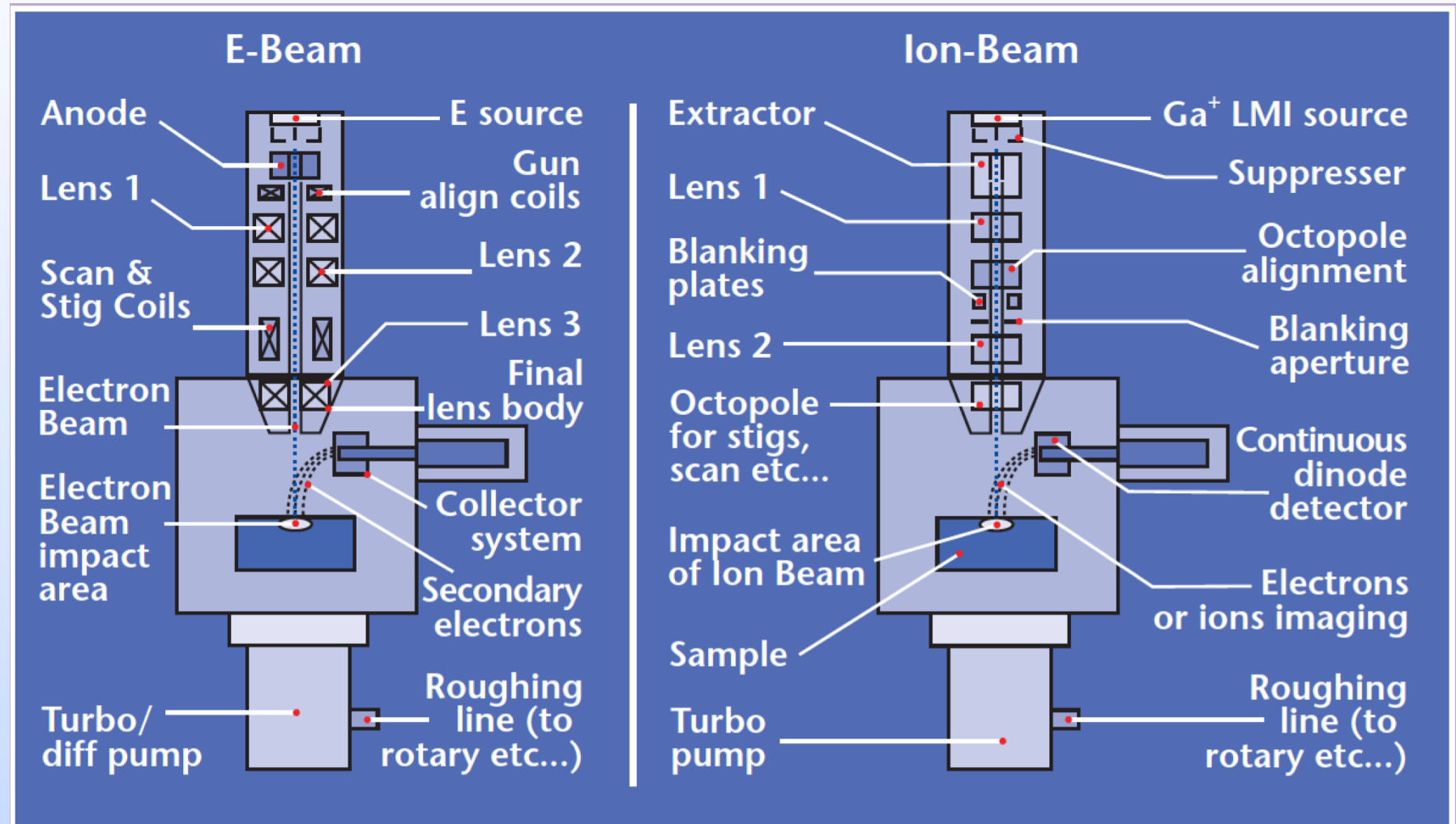
- Not useful for large sections
- Heating (destructive to soft materials)
- Re-deposition of sputtered materials
- Surface damage (damaged layer lower limit 10 nm, upper limit 100 nm)
  - Minimization by:
    - Gas-assisted etching
    - Gently finishing the specimen surface
    - Reducing the incidence angle and/or beam intensity
    - *Ex-situ* wet chemical etching

# FIB Hardware



C.A.Volkert and A.M. Minor, MRS Bulletin, V32, May 2007, p. 389.  
S. Sadayama et al., Microscopy and Microanalysis, V12, 2006, p. 1298.

# FIB Hardware



Quelle: FEI Company

## Literatur

Microlithography, Micromachining, and Microfabrication

P. Rai-Choudhury, The International Society for Optical Engineering, 1997.

Handbook of advanced plasma processing techniques

Randy J. Shul, Springer Verlag, 2000.

Glow Discharge Processes: Sputtering and Plasma Etching

B. Chapman, Wiley Interscience, 1980.

Plasma processes for semiconductor fabrication

W. Hitchon, G. Nicholas, Cambridge University Press, 1999.

High resolution Focused Ion Beams: FIB and its Applications

J. Orlof, M. Utzaut, L. Swanson, Springer, 2003.

Introduction to Focused Ion Beams

L. A. Giannuzzi and F. A. Stevie, Springer, 2005.